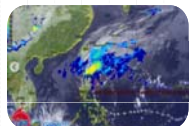


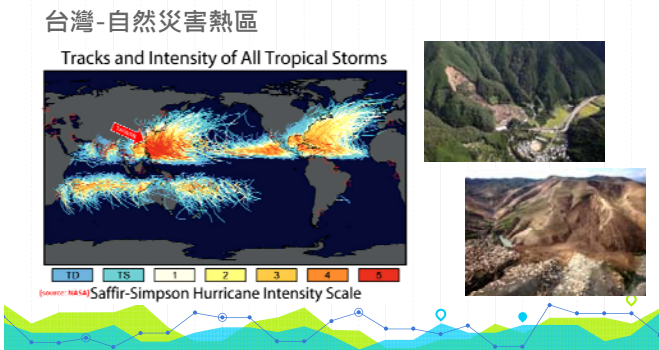
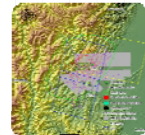


簡報大綱

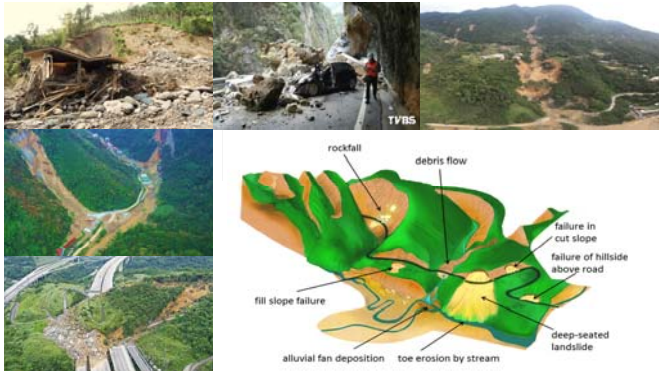
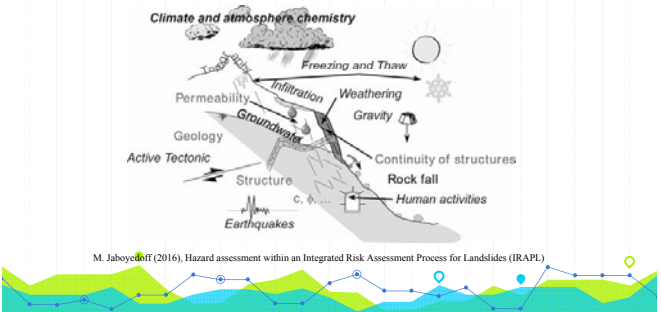
1. 廣域山崩潛勢降雨警戒模式



2. 地震誘發區域型山崩特性



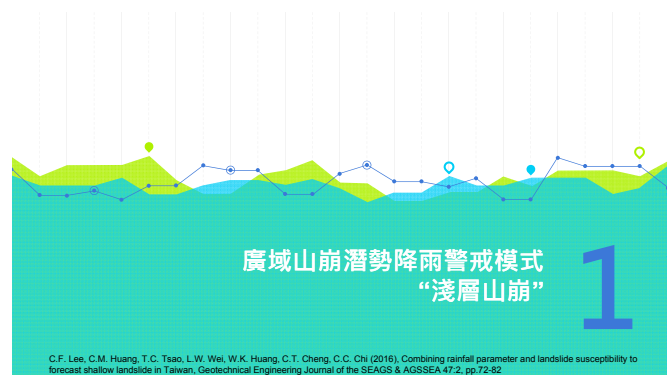
山崩-外部營力



(Varnes, 1978)		Type of Material		
		Engineering Soils		
		Bedrock	Predominantly Coarse	Predominantly Fine
	Falls	Rock Fall	Debris Fall	Earth Fall
	Topples	Rock Topple	Debris Topple	Earth Topple
Slides	Rotational	Rock Slump	Debris Slump	Earth Slump
		Rock Block Slide	Debris Block Slide	Earth Block Slide
	Translational	岩體滑動		岩屑崩滑
	Lateral Spreads	Rock Spread	Debris Spread	Earth Spread
	Flows	Rock Flow (Deep Creep)	Debris Flow	Earth Flow (Soil Creep)
	Complex	Combination of two or more principal types of movement		

地滑與淺層岩屑崩滑之比較 (渡正亮, 1971)

項目	地滑 (slowly landslide)	淺層岩屑崩滑 (shallow landslide)
地質	多發生於特殊地質	與地質關係較少
土質	主要以黏性土為滑動面移動	主要發生在山坡地地表下之不連續面(多半是表土與下層之交界面)
地形	多發生於 5° ~ 20° 的緩坡	多發生於坡度 20° 以上之坡地
活動狀況	連續性、再發性	突發性
移動速度	多 0.01 ~ 10 mm/day 之間 · 速度較緩	10 mm/day 以上 · 速度快
崩滑體狀態	土塊擾動少 · 大多保持原地形 移動	崩落後土體受擾動 · 呈分崩離析的狀態
誘因	地下水、降雨	降雨、地震
厚度規模	平均厚度10公尺	平均厚度2公尺
徵候	發生前有龜裂、陷落、隆起及地下水變動	無特徵 · 為突發性



1. 廣域山崩潛勢降雨警戒模式

強化豪雨引致山崩之即時動態潛勢評估與警戒模式發展(2011-2014)



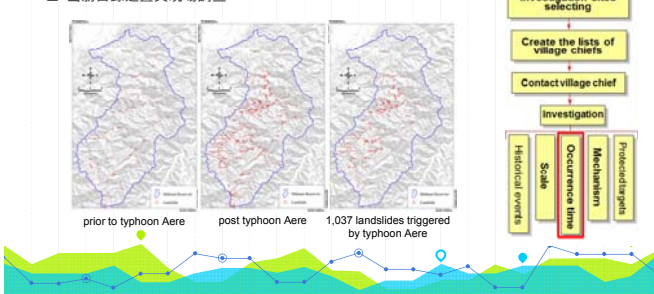
1. 廣域山崩潛勢降雨警戒模式

□ 山崩目錄建置與現場調查



1. 廣域山崩潛勢降雨警戒模式

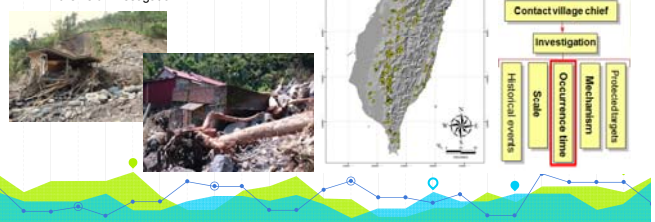
□ 山崩目錄建置與現場調查



1. 廣域山崩潛勢降雨警戒模式

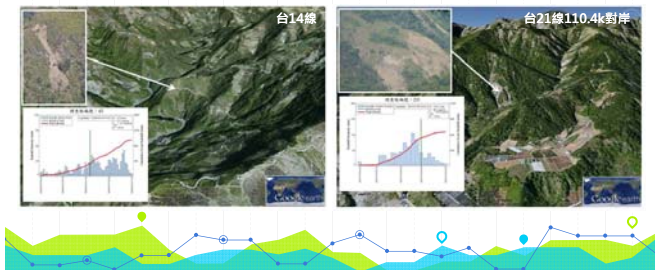
□ 山崩目錄建置與現場調查

- A total of 941 landslide cases which contained information regarding occurrence time were collected during the field investigation.



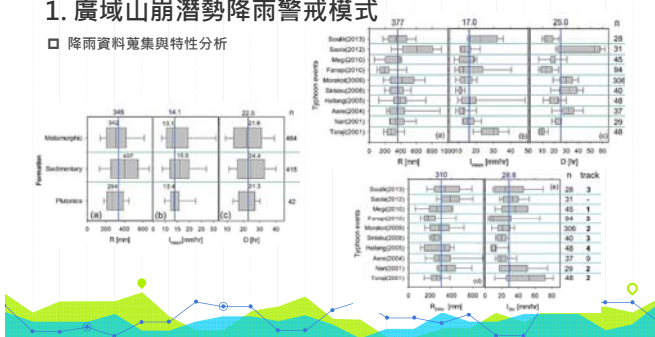
1. 廣域山崩潛勢降雨警戒模式

□ 降雨資料蒐集與特性分析



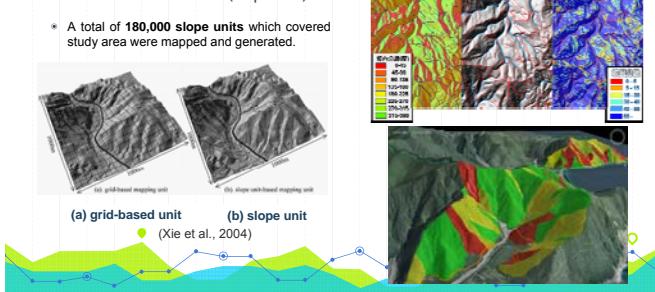
1. 廣域山崩潛勢降雨警戒模式

□ 降雨資料蒐集與特性分析



1. 廣域山崩潛勢降雨警戒模式

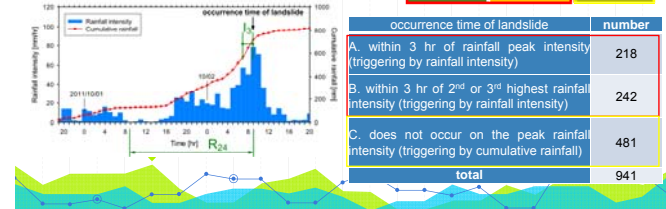
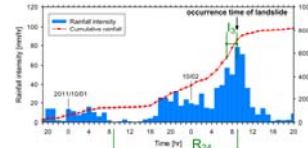
□ 地形分析單元 – 斜坡單元(slope unit)



1. 廣域山崩潛勢降雨警戒模式

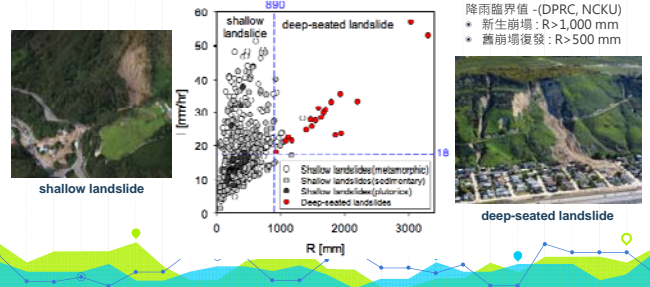
□ 降雨資料蒐集與特性分析

$$\text{距離平方反比法} : \bar{P} = \sum_{i=1}^n w_i P_i, \quad w_i = \frac{h_i^{-2}}{\sum_{i=1}^n h_i^{-2}}$$



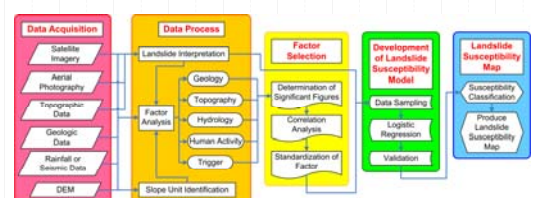
1. 廣域山崩潛勢降雨警戒模式

□ 降雨資料蒐集與特性分析

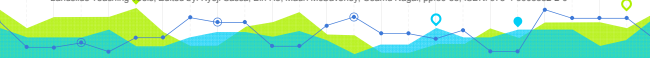


1. 廣域山崩潛勢降雨警戒模式

□ 山崩潛勢模式建置

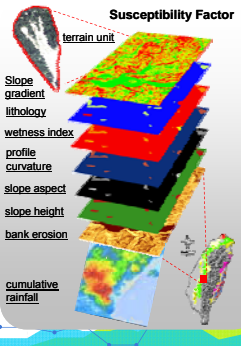
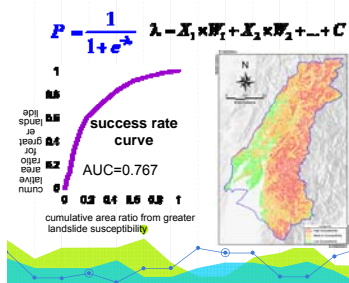


Cheng, C.T., C.M. Huang, L.W. Wei, C.F. Lee, C.T. Lee(2013), Landslide Susceptibility Map, International Consortium on Landslides: ICL Landslide Teaching Tools, Edited by: Kyoko Sassa, Bin He, Mauri McSaveney, Osamu Nagai, pp.50-55, ISBN: 978-4-9903382-2-0



1. 廣域山崩潛勢降雨警戒模式

□ 山崩潛勢模式建置

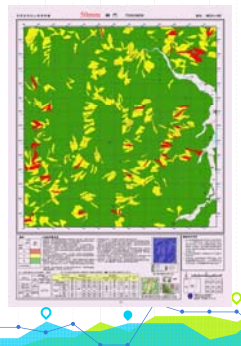


1. 廣域山崩潛勢降雨警戒模式

□ 山崩潛勢模式建置

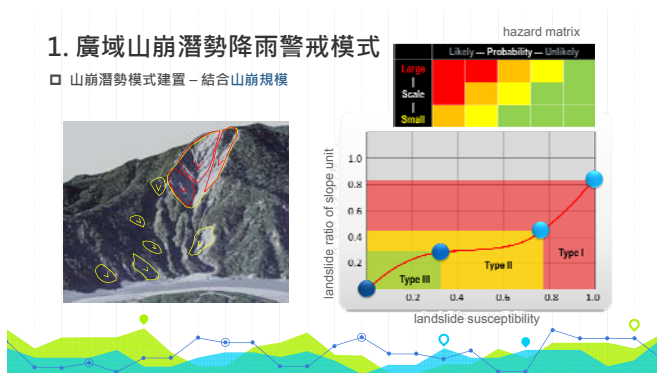
Factor	N	C	S	E
classification of rock strength (I, II, III, IV, V)	○	○	○	○
dip slope gradient	○	○	○	○
slope roughness	○	○	○	○
Ratio of steep slope	○	○	○	○
height of slope		○		
elevation	○			
terrain curvatures	○	○	○	○
terrain roughness	○	○	○	○
fault density	○	○	○	○
old density	○	○	○	○
moisture index	○	○	○	○
24-hr rainfall intensity	○	○	○	○
24-hr cumulative rainfall	○	○	○	○

N, C, S, and E indicate the analysis area in northern, central, southern, and eastern region in Taiwan.



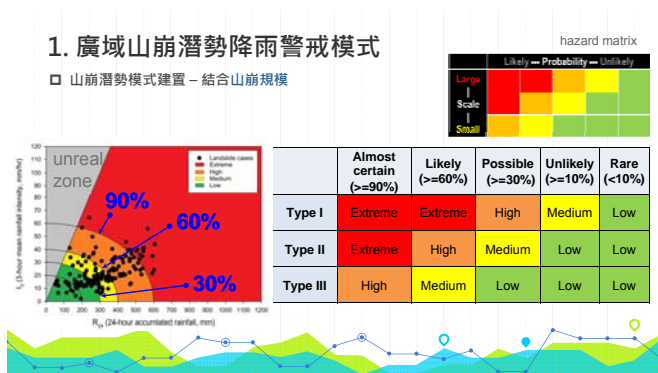
1. 廣域山崩潛勢降雨警戒模式

□ 山崩潛勢模式建置 – 結合山崩規模

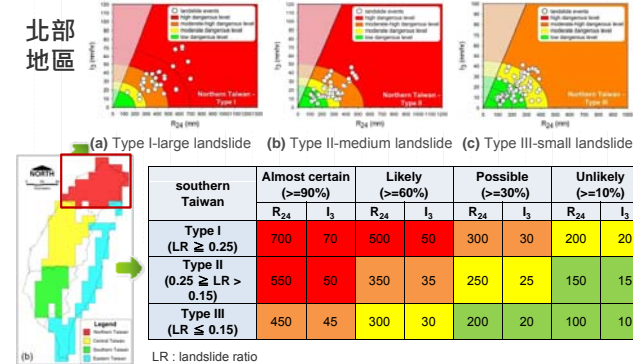


1. 廣域山崩潛勢降雨警戒模式

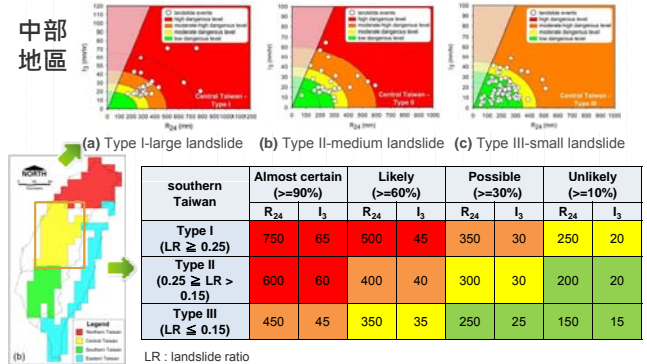
□ 山崩潛勢模式建置 – 結合山崩規模

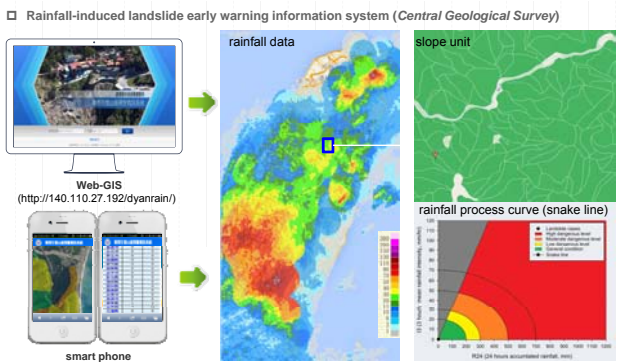
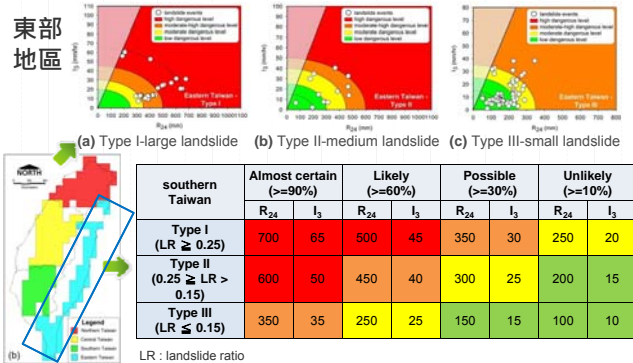
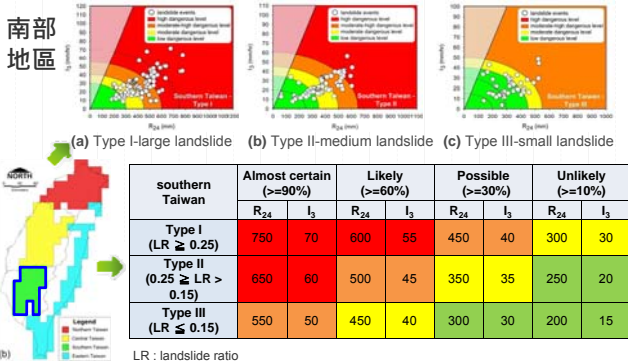


北部
地區



中部
地區

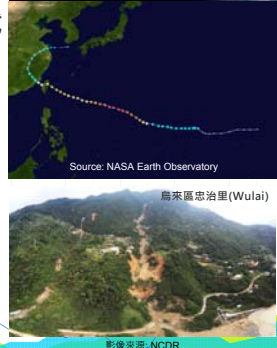




1. 廣域山崩潛勢降雨警戒模式

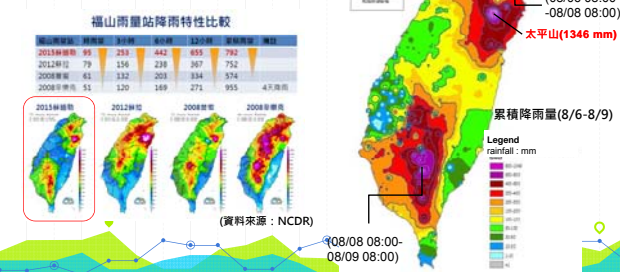
□ 2015蘇迪勒颱風山崩事件驗證

- 蘇迪勒(Soudelor)中度颱風於8/8在台灣北部降下近800 mm強降雨(時雨量達95 mm/hr)。並誘發區域型岩層崩塌與土石流災害，造成烏來山區道路阻斷形成孤島效應。
- 重點土砂災害區：新北市烏來區、新店區、三峽區及桃園市復興區。
- 其他災情：全臺逾400萬戶停電(賀伯颱風：279萬戶)，造成台灣8死437傷(5人失蹤)。大台北地區原水濁度飆高至40,000 NTU。300萬人供水受影響(內政部消防署)。

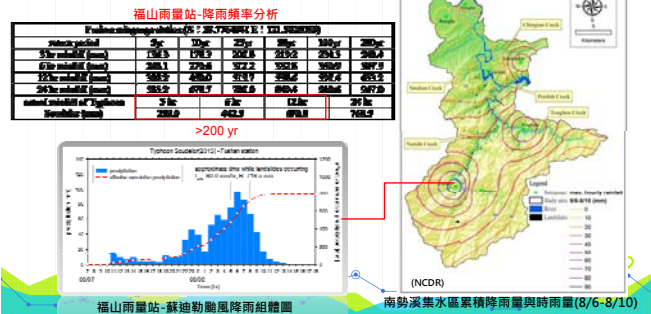


1. 廣域山崩潛勢降雨警戒模式

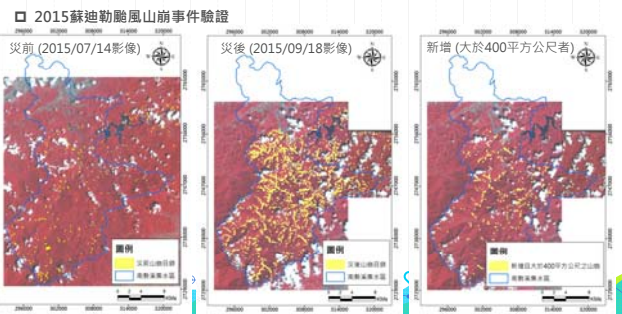
□ 2015蘇迪勒颱風山崩事件驗證



1. 廣域山崩潛勢降雨警戒模式

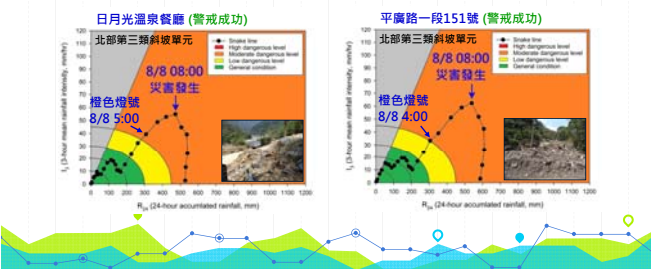


1. 廣域山崩潛勢降雨警戒模式



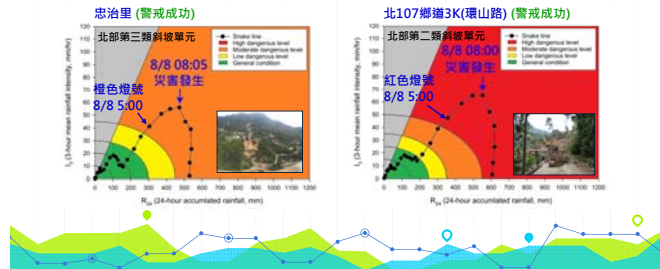
1. 廣域山崩潛勢降雨警戒模式

□ 2015蘇迪勒颱風山崩事件驗證



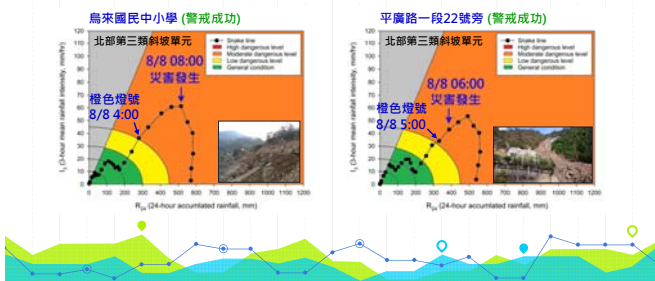
1. 廣域山崩潛勢降雨警戒模式

□ 2015蘇迪勒颱風山崩事件驗證



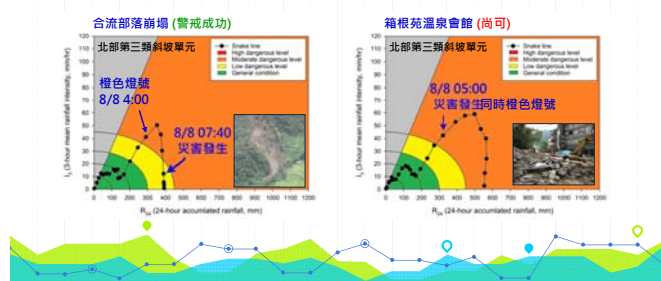
1. 廣域山崩潛勢降雨警戒模式

□ 2015蘇迪勒颱風山崩事件驗證



1. 廣域山崩潛勢降雨警戒模式

□ 2015蘇迪勒颱風山崩事件驗證



1. 廣域山崩潛勢降雨警戒模式

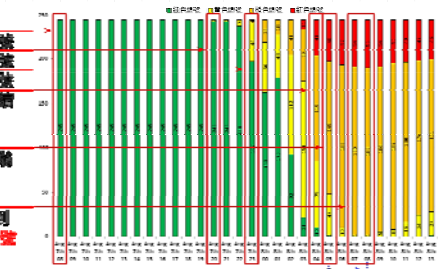
路段或附近地標	地質條件簡述	斜坡單元分類	警戒燈號	災害發生時間	時間差距	結果
志治里	粗腐層、乾溝層風化材料沿順向坡面滑動	第二類	8/8 05:00 橙色燈號	災前3小時 發出警戒	○	
北107鄉道3K(環山路)	乾溝層風化材料沿順向坡面滑動	第二類	8/8 05:00 紅色燈號	災前3小時 發出警戒	○	
日月光溫泉餐廳 (台9甲線009K+500~010K+000)	粗腐層、乾溝層風化材料	第三類	8/8 05:00 綠色燈號	災前3小時 發出警戒	○	
烏來國民中小學 (台9甲線014K+500)	乾溝層風化材料	第二類	8/8 04:00 綠色燈號	災前4小時 發出警戒	○	
平廣路一段22號旁	大桶山層風化材料沿順向坡面滑動	第二類	8/8 05:00 綠色燈號	災前1小時 發出警戒	○	
平廣路一段151號	大桶山層風化材料	第三類	8/8 04:00 綠色燈號	災前4小時 發出警戒	○	
箱根苑溫泉會館 (台9甲線012K+900)	乾溝層風化材料	第二類	8/8 05:00 綠色燈號	災害發生 恰發出警戒	●	
桃園市復興區合流部落	木山層風化材料	第二類	8/8 04:00 綠色燈號	災前3小時 發出警戒	○	

1. 廣域山崩潛勢降雨警戒模式

8/7 08:00 陣雨開始
8/7 20:00 開始出現黃色燈號
8/7 23:00 開始出現橙色燈號
8/8 04:00 出現大量橙色燈號
8/8 04:40 颶風登陸，並持續
帶來高強降雨

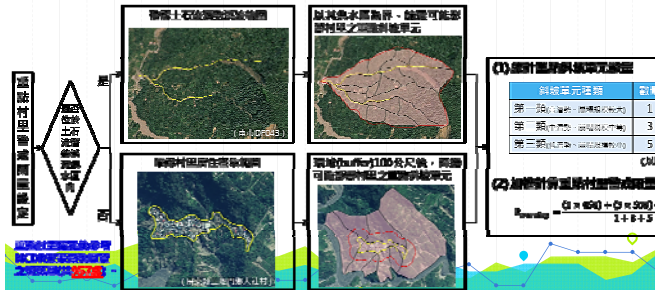
8/8 05:10
245個新生崩塌的斜坡單元幾乎均已轉為紅、綠燈號
8/8 07:00~08:10
僅1個黃色燈號，其餘均轉到各斜坡單元的最高程度警戒燈號

驗證成果顯示：
模式警戒時間與災害發生集中時間相符合

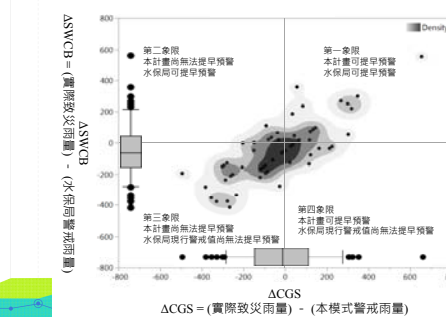


1. 廣域山崩潛勢降雨警戒模式

□ 土石流潛勢溪流與危險聚落預警評估



1. 廣域山崩潛勢降雨警戒模式



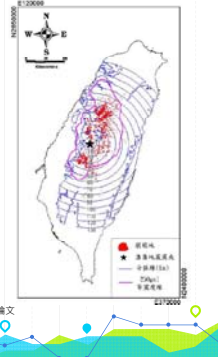
地震誘發區域型山崩特性

2

2. 地震誘發區域型山崩特性

1999年集集大地震(廖軒吾(2000))

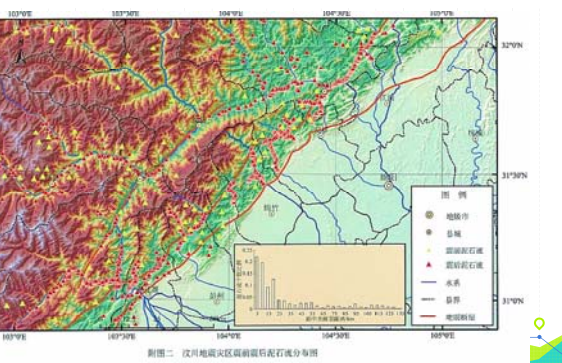
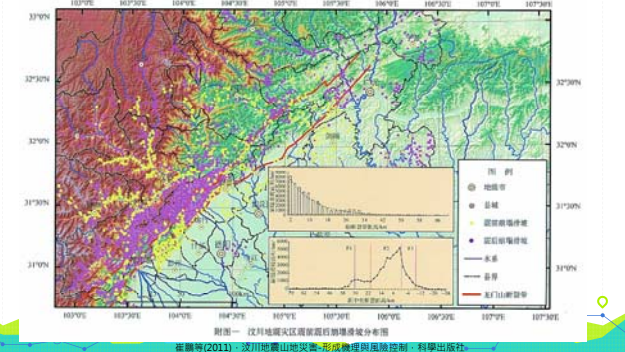
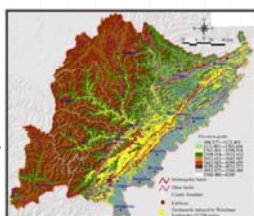
- 山崩的分布大部分都在水平最大地動加速度 **250 gal** 以上的區域(崩壞比在 300 gal 後明顯增加)。
- 山崩大多發生於距斷層破裂面 **20 km 以內** 的距離，而分布最遠的距離為 60~70 km 區間。
- 山崩有明顯集中在頭崙山層、錦水頁岩及達見砂岩。
- 崩塌地大多分布在**坡度大於100%**的邊坡。
- 誘發山崩分布的坡向在上盤處以 S 及 SE 坡向崩壞比最大，在下盤處則以 SE、S 及 SW 坡向崩壞比較大。



2. 地震誘發區域型山崩特性

2008年汶川大地震(黃潤秋(2011))

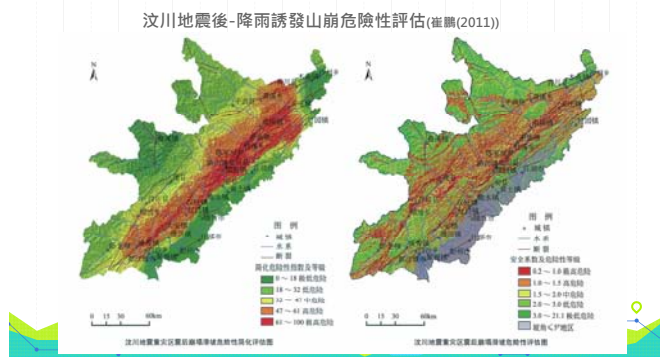
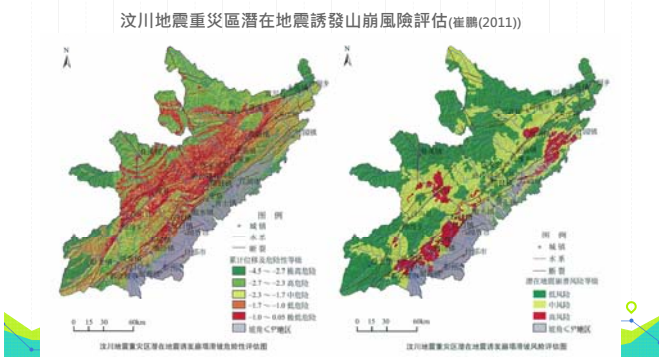
- 山崩的分布大部分都在水平最大地動加速度 **250 gal** 以上的區域(崩壞比在 300 gal 後明顯增加)。
- 山崩大多發生於距斷層破裂面 **20 km 以內** 的距離，而分布最遠的距離為 60~70 km 區間。
- 山崩有明顯集中在頭崙山層、錦水頁岩及達見砂岩。
- 崩塌地大多分布在**坡度大於100%**的邊坡。
- 誘發山崩分布的坡向在上盤處以 S 及 SE 坡向崩壞比最大，在下盤處則以 SE、S 及 SW 坡向崩壞比較大。



2. 地震誘發區域型山崩特性

2008年汶川大地震-滑坡易發性評估因子萃取(崔鵬(2011))

分類	致災因素(單位)	備註
地質構造	斷層帶密度(條/km ²)	0.37-0.59, 0.59-0.75, 0.75-0.89, 0.89-1.03, 1.03-1.16, 1.16-1.39
地形地貌	坡度(deg)	0-14.9, 14.9-26.5, 26.5-35.5, 35.5-43.2, 43.2-52.5, 52.5-76.0
	地形高程(m)	195-293, 293-375, 375-458, 458-559, 559-815
	坡向(deg)	N, NE, E, SE, S, SW, W, NW
	坡型	低凹、中凹、凹~凸、中凸、高凸
地層岩性	岩體強度	鬆散、軟弱、較軟、較硬、堅硬
水文地質	與河流距離(m)	0-155, 155-329, 329-510, 510-722, 722-1000, 1000-1645
地震參數	Arias 離度(L _z : m/s)	8.2-9.5, 9.5-10.5, 10.5-11.6, 11.6-12.7, 12.7-13.9, 13.9-15.0, 15.0-16.0, 16.0-16.7



THANKS!

Any questions?

<http://dpvc.sinotech.org.tw/>
clee@sinotech.org.tw

